

H₂O 对沸石咪唑酯骨架材料 CO₂ 捕获性能的影响研究

胡建波 刘晶 顾晨凯

(华中科技大学煤燃烧国家重点实验室, 湖北 武汉 430074)

摘 要: 沸石咪唑酯骨架(ZIFs)材料是一种新型的温室气体 CO₂ 吸附材料。本文采用巨正则蒙特卡洛(GCMC)模拟的方法研究了 H₂O 对 ZIF-8 及 ZIF-90 的 CO₂ 吸附性能和 CO₂/N₂ 分离性能的影响。研究结果表明, ZIF-90 的 CO₂ 吸附及 CO₂/N₂ 分离性能要强于 ZIF-8。在 ZIF-8 中, H₂O 的存在对该材料的 CO₂ 吸附性能和 CO₂/N₂ 选择性分离性能几乎没有影响。H₂O 对 CO₂ 在 ZIF-90 中的吸附具有协同吸附作用, H₂O 的存在对材料吸附 CO₂ 及分离 CO₂/N₂ 具有明显的促进作用。

关键词: 二氧化碳; 水; 沸石咪唑酯骨架材料; 巨正则蒙特卡洛模拟

中图分类号: TQ028.14

文献标识码: A

The Effect of H₂O on CO₂ Capture in Zeolitic Imidazolate Frameworks

Hu Jian-Bo Liu Jing Gu Chen-Kai

(State Key Laboratory of Coal Combustion, Huazhong University of Science and Technology, Wuhan 430074, China)

Abstract: Zeolitic imidazolate frameworks (ZIFs) are a new porous materials for CO₂ capture. In this work, we study the effect of H₂O on CO₂ adsorption and CO₂/N₂ separation in ZIF-8 and ZIF-90 using Grand Canonical Monte Carlo (GCMC) simulations. The results shows that the CO₂ uptake amount and CO₂/N₂ selectivity in ZIF-90 are higher than that in ZIF-8. In ZIF-8, the presence of H₂O have no effect on CO₂ adsorption and CO₂/N₂ separation. In ZIF-90, H₂O has a cooperative effect on the adsorption of CO₂, the CO₂ uptake amount and CO₂/N₂ selectivity increased with the presence of H₂O.

Key words: CO₂; H₂O; Zeolitic imidazolate frameworks; Grand Canonical Monte Carlo simulations

收稿日期: 2016-06-15

基金项目: 国家自然科学基金资助项目(No. 51676079); 湖北省自然科学基金杰出青年项目(No. 2015CFA046)

第一作者: 胡建波 (1992-), 男, 江西省高安人, 博士研究生, 主要从事金属有机骨架吸附分离 CO₂ 研究。通信作者: 刘晶, 教授, liujing27@mail.hust.edu.cn

0 引言

大气中 CO₂ 浓度的增加所导致的全球变暖是人类发展所面临的一项重大挑战。燃煤电厂是我国最大的 CO₂ 排放源。使用多孔吸附剂从电厂烟气中捕获 CO₂, 从而抑制大气中的 CO₂ 浓度, 被认为是最为有效的 CO₂ 减排方法之一^[1]。近年来, 多种多孔材料被应用于燃烧后 CO₂ 捕获研究, 其中金属有机骨架(MOF, metal-organic framework)材料由于其良好的热稳定性和化学稳定性, 超大的比表面积, 超高且可调的孔隙率, 且可根据实际应用需求加以设计、控制等特点, 被认为是极具潜力的 CO₂ 捕获材料^[2]。

沸石咪唑酯骨架(ZIFs, zeolitic imidazolate frameworks)材料是一系列具有类沸石结构的 MOFs 材料衍生物^[3]。该类材料由过渡金属原子(一般为 Zn 或 Co)连接官能化的咪唑(IM)有机链而成, 相对于传统的 MOFs 材料, ZIFs 材料具有更为优异的化学稳定性和热稳定性^[4]。此外, ZIFs 材料还具有非常优异的 CO₂ 捕获和分离性能。Banerjee 等^[5]的研究表明在 273 K 及 100 kPa 条件下, 1L ZIF-69 可以储存 83 L 的 CO₂, 明显高于 BPL 碳等材料。

实际烟气中除了 CO₂ 和 N₂ 之外, 还具有相当数量的水蒸气。研究表明, 水蒸气对 MOFs 材料吸附 CO₂ 和分离 CO₂/N₂ 混合气体具有一定影响。Kizzie 等^[6]发现少量的水会促进 CO₂ 在 HKUST-1 中

的吸附，而 Ni-MOF-74 的 CO₂ 吸附量在水存在的情况下有所降低。然而，烟气中的 H₂O 对 ZIFs 材料的 CO₂ 捕获性能影响的研究则鲜见报道^[7]。在我们前期研究中发现^[7]，H₂O 的存在会降低 ZIF-68 的 CO₂ 的吸附量，但会提高材料的 CO₂/N₂ 分离系数。要衡量 ZIFs 材料在燃烧后 CO₂ 捕获领域的应用潜力，必须考察烟气中的 H₂O 对 ZIFs 材料 CO₂ 吸附性能和 CO₂/N₂ 分离性能的影响。

本文针对两种具有相同拓扑结构但包含有不同有机链的 ZIFs 材料，ZIF-8 和 ZIF-90，采用巨正则蒙特卡洛(GCMC)模拟的方法研究烟气中的 H₂O 对这两种 ZIFs 材料的 CO₂ 吸附及 CO₂/N₂ 分离性能的影响。对比两种材料在 CO₂/N₂ 及 CO₂/N₂/H₂O 两种混合气体中的 CO₂ 吸附量及 CO₂/N₂ 分离系数，研究 H₂O 对 ZIFs 材料 CO₂ 捕获性能的影响，并对其影响机理进行分析。本文的研究结果对设计满足实际工况应用条件的 ZIFs 材料提供了理论依据。

1 计算模型与方法

1.1 ZIFs 模型

ZIF-8 及 ZIF-90 模型中各原子的位置采用 XRD 测定的实验数据^[8, 9]确定并构建模型，模型如图 1 所示。ZIF-8 及 ZIF-90 具有相同的 SOD 拓扑结构，由金属原子 Zn 与不同的有机链链接而成。ZIF-8 包含有甲基咪唑有机链，而 ZIF-90 则由醛基咪唑构成。两种材料的结构性质如表 1 所示。其中，可接触比表面积和总自由体积通过 Materials Studio^[10]计算得到。一个直径等于 N₂ 动力学直径(0.28 nm)的探针分子用于计算材料的可接触比表面积 (*S*_{acc})。材料的总自由体积为未被骨架原子占据的体积，因此直径为 0 nm 的探针分子用于计算材料的总自由体积 (*V*_{free})^[11]。

1.2 力场与原子电荷

选用 Lennard-Jones 12-6 势能模型和 coulombic 势能模型描述，静电作用采用 Ewald 求和方法描述气体-气体及气体-吸附剂之间的相互作用力：

$$u_{ij}(r) = \sum_{\alpha \in i} \sum_{\beta \in j} \left\{ 4\epsilon_{\alpha\beta} \left[\left(\frac{\sigma_{\alpha\beta}}{r_{\alpha\beta}} \right)^{12} - \left(\frac{\sigma_{\alpha\beta}}{r_{\alpha\beta}} \right)^6 \right] + \frac{q_{\alpha}q_{\beta}}{4\pi\epsilon_0 r_{\alpha\beta}} \right\} \quad (1)$$

式中： $\epsilon_0 = 8.8542 \times 10^{-12} \text{ C}^2\text{N}^{-1}\text{m}^{-2}$ ，为真空电容率； $\sigma_{\alpha\beta}$ ， $\epsilon_{\alpha\beta}$ 分别为碰撞直径和阱深。CO₂ 和 N₂ 分子力场参数取自 TraPPE 模型^[12]。在该模型中，CO₂ 为刚性线型模型，其中 C-O 键长为 0.116 nm。为了描述 CO₂ 分子的四极矩，C 原子电荷为 0.35e，O 原子

电荷为-0.7e。N₂ 分子为三点刚性模型，其中 N-N 键长为 0.11 nm。N 原子电荷为-0.482e，为平衡分子电荷，在两个 N 原子中性放置一个带有+0.964e 的虚拟原子。H₂O 则取自 TIP4P 模型^[13]，该模型包括有三个电荷原子和一个 LJ 中心原子。气体分子力场参数如表 2 所示。

表 1 ZIF-8 及 ZIF-90 材料的结构特性
Table 1 Structural properties of ZIF-8 and ZIF-90

ZIFs	晶格参数/nm	$\rho/\text{g}\cdot\text{cm}^{-3}$	$S_{\text{acc}}/\text{m}^2\cdot\text{g}$	$V_{\text{free}}/\text{cm}^3\cdot\text{g}$
ZIF-8	1.699	0.924	2482	0.56
ZIF-90	1.729	0.988	2267	0.52

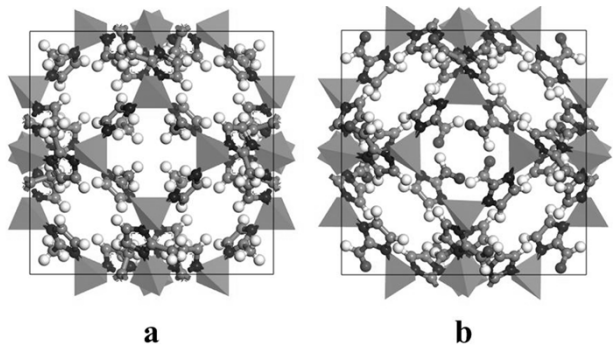


图 1 材料结构模型 (a) ZIF-8 (b) ZIF-90
Fig. 1 Atomic structures of (a) ZIF-8 and (b) ZIF-90.

ZIF-8 及 ZIF-90 力场参数取自 UFF 力场^[14]，该力场参数能准确描述气体分子与 ZIFs 材料骨架原子之间的相互作用力。为了更好的描述气体分子在 ZIF-8 及 ZIF-90 中的吸附行为，LJ 参数取自优化后的 UFF 力场^[15]。骨架原子力场参数如表 3 所示。ZIFs 材料骨架原子电荷取自通过 DFT 计算拟合得到的 ESP 电荷^[15]。原子电荷如图 2 所示。

表 2 气体分子 L-J 势能参数及原子电荷
Table 2 LJ Parameters and Charges for Guest Gas Molecules

气体分子		LJ 参数		电荷
		σ	ϵ/kb	
CO ₂	CO ₂ _C	2.8	27	0.70
	CO ₂ _O	3.05	79	-0.35
N ₂	N ₂ _N	3.3	36	-0.5075
	N ₂ _com	0	0	1.015
H ₂ O	H ₂ O_H	0	0	0.52

H ₂ O_O	3.1536	78.03	0
H ₂ O_com	0	0	-1.04

表 3 ZIFs 材料中骨架原子 L-J 势能参数
Talbe 3 LJ Parameters for ZIF atoms

原子类型	σ	ϵ/kb
Zn	2.338	43.084
O	3.118	20.847
C	3.259	36.483
N	3.997	23.974
H	2.440	15.288

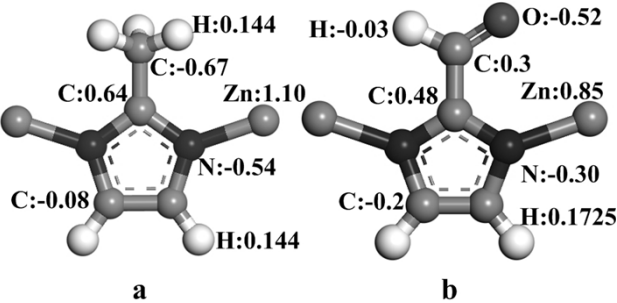


图 2 骨架各原子电荷(a) ZIF-8 (b) ZIF-90

Fig. 2 Partial Atomic Charges of (a) ZIF-8 and (b) ZIF-90

1.3 巨正则蒙特卡罗模拟细节

使用巨正则蒙特卡罗(GCMC)模拟方法计算 ZIF-8 和 ZIF-90 材料在 298 K 温度条件下的单一组分气体吸附量以及 CO₂/N₂/H₂O 三元混合气体中各组分气体吸附量及 CO₂/N₂ 分离系数。骨架中各原子为刚性，且固定在各自位置。考虑到周围环境对材料吸附 CO₂ 的影响，在计算中使用三维周期性边界条件。为保证计算精度，模拟盒子选取为 2 × 2 × 2 个单元晶胞，截断半径为 1.28 nm，模拟步数为 2 × 10⁷，其中，前 1 × 10⁷ 用于平衡体系，后 1 × 10⁷ 用于热力学统计研究。模拟计算结果为绝对吸附量，而实验测量结果为相对吸附量，两者之间的转换公式为： $n_{ex} = n_{abs} - V_g \rho_g$ (2)

式中， n_{ex} 表示相对吸附量， n_{abs} 表示绝对吸附量， V_g 表示吸附剂孔体积， ρ_g 为吸附质气体密度。 ρ_g 可通过 Peng-Robinson 方程计算得到。气体分离系数计算公式为：

$$S = (x_1/x_2)(y_2/y_1) \quad (3)$$

其中 x 和 y 分别是相应组分气体在吸附相以及气相中的摩尔分数。

2 结果与讨论

2.1 力场参数的验证

在对模型进行分子模拟研究时，选择合适的力场参数对于模拟结果的可靠性有决定性作用。本文将 GCMC 模拟所得到的 ZIF-8 与 ZIF-90 的 CO₂ 及 N₂ 吸附等温线与实验所得到的吸附等温线相对比，结果如图 3 所示。结果表明模拟结果与实验结果很吻合。因此本文所选取的力场参数和电荷可靠。

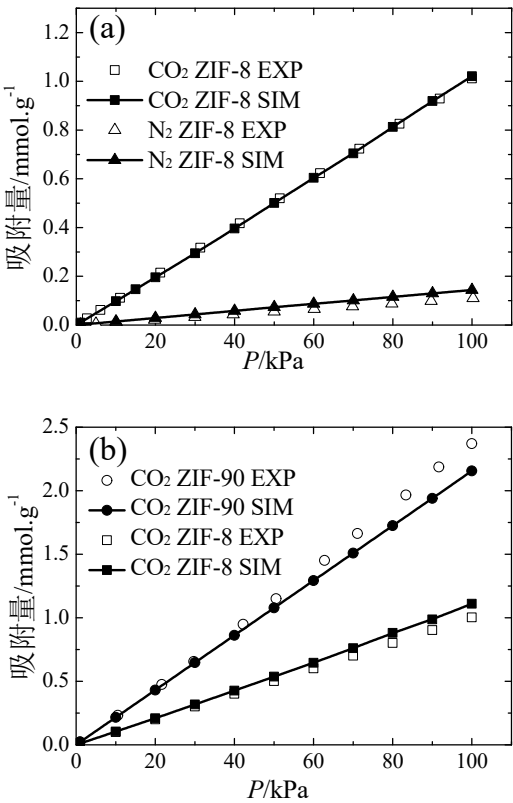


图 3 模拟与实验吸附等温线对比: (a) 298K, (b) 295K

Fig. 3 Comparison of simulated and experiment adsorption isotherms: (a) 298K, (b) 295K

2.2 单一气体吸附

图 4 给出了在 298 K 时 CO₂, N₂ 及 H₂O 在 ZIF-8 及 ZIF-90 上的吸附等温线。其中 CO₂ 压力范围为: 0 kPa-100 kPa, N₂ 压力范围为: 0 kPa-100 kPa, H₂O 的压力范围为 0 kPa-10 kPa。由图 4 中可以看出，CO₂ 在 ZIF-8 及 ZIF-90 中的吸附量明显高于 N₂，这表明 ZIF-8 及 ZIF-90 是一种很好的 CO₂/N₂ 分离材料。H₂O 在 ZIF-8 中的吸附量很低，这是因为-CH₃ 官能团是憎水基团，会阻碍 H₂O 在 ZIF-8 中的吸附。由于 ZIF-90 中的-CHO 具有亲水

性, H₂O 在 ZIF-90 中的吸附量远高于 CO₂ 在 ZIF-90 中的吸附量。

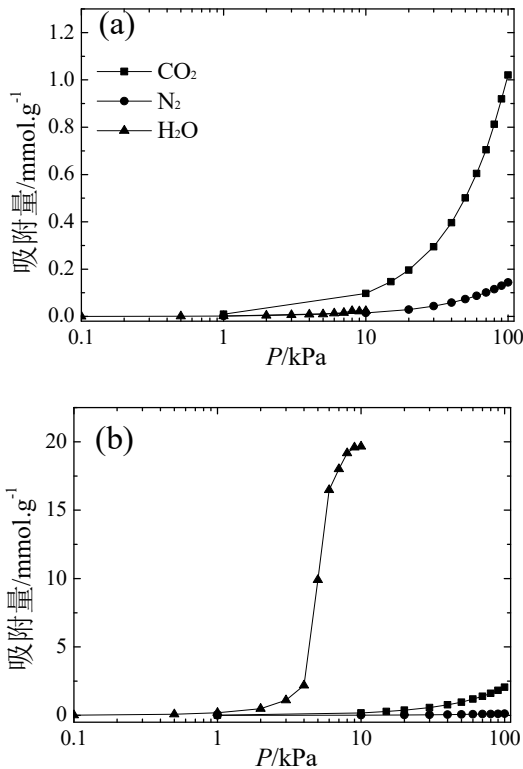


图 4 CO₂, N₂ 及 H₂O 在(a) ZIF-8 及(b) ZIF-90 中的吸附等温线

Fig. 4 Simulated CO₂, N₂, and H₂O adsorption isotherms in (a) ZIF-8 and (b) ZIF-90

2.3 混合气体吸附

为了研究烟气中的 H₂O 对 ZIF-8 及 ZIF-90 的 CO₂ 吸附性能和 CO₂/N₂ 分离性能的影响, 本文考虑了两种不同的气体混合物: 1) CO₂/N₂, 2) CO₂/N₂/H₂O, 为模拟实际烟气, CO₂ 分压为 15 kPa, H₂O 为 5 kPa, 模拟烟气总压为 100 kPa。采用 N₂ 平衡混合气体总压。

图 5 给出了 ZIF-8 和 ZIF-90 在两种混合气体中的 CO₂ 吸附量及 CO₂/N₂ 分离系数。从图 5 中可以看出, 在 CO₂/N₂ 混合气体中, ZIF-90 的 CO₂ 吸附量及 CO₂ 选择性要高于 ZIF-8 的 CO₂ 选择性。这是因为 ZIF-90 中有机链上的官能团-CHO 是极性官能团, 而在 ZIF-8 中的-CH₃ 官能团则是非极性官能团。极性官能团相比非极性官能团更能增强 CO₂ 在骨架上的吸附作用能^[16]。因此当采用极性官能团取代时, CO₂ 与骨架原子之间会具有更高的亲和力, 从而会增大材料的 CO₂ 吸附量及 CO₂/N₂ 分离系

数。此外, 我们还可以发现 H₂O 的存在对 ZIF-8 吸附 CO₂ 及分离 CO₂/N₂ 没有影响。这是因为 H₂O 在 ZIF-8 中的吸附量极低, 远低于 CO₂ 在材料内的吸附。另一方面, 尽管 H₂O 在 ZIF-90 中的吸附量相当可观, 但 H₂O 的存在却对材料吸附 CO₂ 及分离 CO₂/N₂ 有一定的促进作用。从表 5 中可以看出, H₂O 的存在会提高 CO₂ 在 ZIF-90 中的吸附热, 因此, H₂O 对 CO₂ 在 ZIF-90 中的吸附具有一定的协同吸附效应, 从而提高材料的 CO₂ 吸附量。而 H₂O 与 N₂ 之间则缺乏这一作用, 因此因此 H₂O 的存在增强了 CO₂/N₂ 选择性系数。

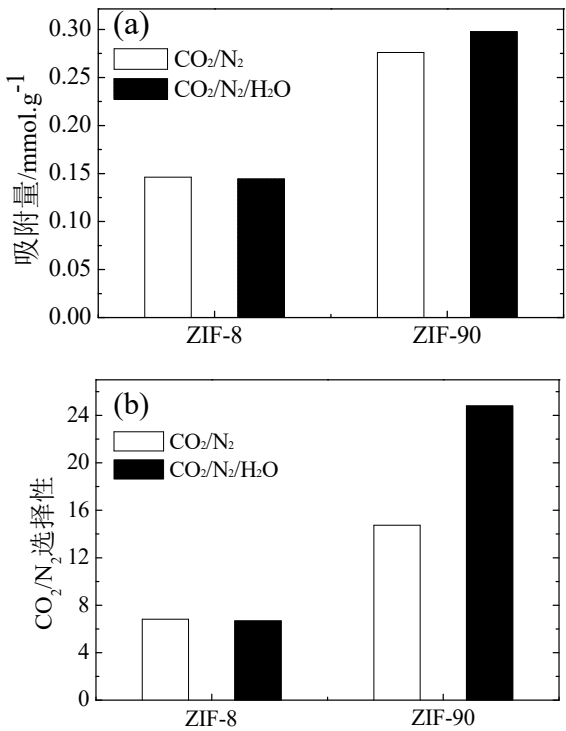


图 5 ZIF-8 和 ZIF-90 在两种混合气体中的(a)CO₂ 吸附量和 (b)CO₂/N₂ 分离系数

Fig. 5 (a) CO₂ uptake amount and (b) CO₂/N₂ selectivity from two mixture in ZIF-8 and ZIF-90

表 5 ZIF-8 和 ZIF-90 在两种混合气体中的 CO₂ 吸附热

Table 5 CO₂ adsorption heat from two mixtures in ZIF-8 and

ZIF-90		
ZIFs	CO ₂ /N ₂	CO ₂ /N ₂ /H ₂ O
ZIF-8	16.65	16.63
ZIF-90	20.53	24.56

3 结论

本文使用巨正则蒙特卡罗模拟(GCMC)方法计算了 H_2O 的存在对 ZIF-8 与 ZIF-90 的 CO_2 吸附性能和 CO_2/N_2 分离性能的影响。研究表明, ZIF-90 的 CO_2 吸附及 CO_2/N_2 分离性能要强于 ZIF-8。在 ZIF-8 中, H_2O 的吸附量远低于 CO_2 的吸附量, 而在 ZIF-90 中, H_2O 的吸附量高于 CO_2 的吸附量。 H_2O 的存在对 ZIF-8 的 CO_2 吸附性能和 CO_2/N_2 分离性能没有影响, 而在 ZIF-90 中, H_2O 与 CO_2 之间存在协同吸附作用。 H_2O 的存在对 ZIF-90 的 CO_2 吸附性能和 CO_2/N_2 分离性能有明显的促进作用。

参考文献

- [1] Figueroa J D, Fout T, Plasynski S, et al. Advances in CO_2 Capture Technology—the U.S. Department of Energy's Carbon Sequestration Program[J]. *International Journal of Greenhouse Gas Control*, 2008, 2(1): 9--20
- [2] Sumida K, Rogow D L, Mason J A, et al. Carbon Dioxide Capture in Metal-Organic Frameworks[J]. *Chemical Reviews*, 2012, 112(2): 724--781
- [3] Banerjee R, Phan A, WANG Bo, et al. High-Throughput Synthesis of Zeolitic Imidazolate Frameworks and Application to CO_2 Capture[J]. *Science*, 2008, 319(5865): 939--943
- [4] Park K S, NI Zheng, Côté A P, et al. Exceptional Chemical and Thermal Stability of Zeolitic Imidazolate Frameworks[J]. *Proceedings of the National Academy of Sciences*, 2006, 103(27): 10186--10191
- [5] Banerjee R, Furukawa H, Britt D, et al. Control of Pore Size and Functionality in Isorecticular Zeolitic Imidazolate Frameworks and Their Carbon Dioxide Selective Capture Properties[J]. *Journal of the American Chemical Society*, 2009, 131(11): 3875--3877
- [6] Kizzie A C, Wong-Foy A G, Matzger A J. Effect of Humidity on the Performance of Microporous Coordination Polymers as Adsorbents for CO_2 Capture[J]. *Langmuir*, 2011, 27(10): 6368--6373
- [7] LIU Yang, LIU Jing, LIN Y S, et al. Effects of Water Vapor and Trace Gas Impurities in Flue Gas on CO_2/N_2 Separation Using ZIF-68[J]. *The Journal of Physical Chemistry C*, 2014, 118(13): 6744--6751
- [8] HUANG Xiaochun, LIN Yanyong, ZHANG Jiepeng, et al. Ligand-Directed Strategy for Zeolite-Type Metal–Organic Frameworks: Zinc(II) Imidazoles with Unusual Zeolitic Topologies[J]. *Angewandte Chemie*, 2006, 118(10): 1587--1589
- [9] Morris W, Doonan C J, Furukawa H, et al. Crystals as molecules: Postsynthesis Covalent Functionalization of Zeolitic Imidazolate Frameworks[J]. *Journal of the American Chemical Society*, 2008, 130(38): 12626--12627
- [10] Dassault Systèmes BIOVIA. Materials Studio Modeling Environment, release 2017; Dassault Systèmes BIOVIA.: San Diego, CA, 2016.
- [11] HU Jianbo, LIU Jing, LIU Yang, et al. Improving Carbon Dioxide Storage Capacity of Metal Organic Frameworks by Li Alkoxide Functionalization: A Molecular Simulation Study[J]. *The Journal of Physical Chemistry C*, 2016, 120(19): 10311--10319
- [12] Potoff J J, Siepmann J I. Vapor–Liquid Equilibria of Mixtures Containing Alkanes, Carbon Dioxide, and Nitrogen[J]. *AIChE journal*, 2001, 47(7): 1676--1682
- [13] Jorgensen W L, Chandrasekhar J, Madura J D, et al. Comparison of Simple Potential Functions For Simulating Liquid Water[J]. *The Journal of Chemical Physics*, 1983, 79(2): 926
- [14] Rapp A K, Casewit C J, Colwell K, et al. UFF, a Full Periodic Table Force Field for Molecular Mechanics and Molecular Dynamics Simulations[J]. *Journal of the American Chemical Society*, 1992, 114(25): 10024--10035
- [15] Amrouche H, Aguado S, Pérez-Pellitero J, et al. Experimental and Computational Study of Functionality Impact on Sodalite–Zeolitic Imidazolate Frameworks for CO_2 Separation[J]. *The Journal of Physical Chemistry C*, 2011, 115(33): 16425--16432
- [16] LIU Yang, LIU Jing, CHANG Ming, et al. Effect of Functionalized Linker on CO_2 Binding in Zeolitic Imidazolate Frameworks: Density Functional Theory Study[J]. *The Journal of Physical Chemistry C*, 2012, 116(32): 16985--16991